

ВПЛИВ МАГНІТНОГО ПОЛЯ НА ХАРАКТЕР ДИНАМІЧНИХ ФАЗОВИХ ПЕРЕХОДІВ В МОНОКРИСТАЛАХ $\text{YBa}_2\text{Cu}_3\text{O}_{7-\delta}$ З МАЛИМ ДЕФІЦИТОМ КИСНЮ

R. V. Vovk, K. A. Kotvytska

EFFECT OF MAGNETIC FIELD ON TYPE THE DYNAMIC PHASE TRANSITIONS IN SINGLE CRYSTALS $\text{YBa}_2\text{Cu}_3\text{O}_{7-\delta}$ WITH SMALL OXYGEN DEFICIENT

Отримання нових функціональних матеріалів з високою струмонесучою здатністю продовжує залишатися однією з актуальних прикладних і фундаментальних задач фізики. Найважливішу роль при цьому відіграє оптимізація дефектного ансамблю [1]. Як відомо [2], мала довжина когерентності ξ і велика глибина проникнення λ приводить до того, що пінінг у ВТНП стає ефективним на дефектах, у тому числі вакансіях кисню [3] домішках впроваджень [4]. При цьому з'ясування ступеня впливу таких дефектів на фазовий стан вихрової матерії найчастіше виявляється ускладнено через наявність у ВТНП-сполуках міжзеренних меж, площин двійникування, кластерних включень та інших дефектів, які є досить потужними центрами пінінгу. Істотний вплив має також наявність власного «intrinsic» пінінгу, обумовленого шаруватою структурою ВТНП-сполук [3]. Метою є дослідження впливу магнітного поля на характер динамічних фазових переходів у монокристалах $\text{YBa}_2\text{Cu}_3\text{O}_{7-\delta}$ з малим відхиленням від кисневої стехіометрії.

Для дослідження резистивних переходів у надпровідний (НП) стан використано метод Коувеля-Фішера [5], основою якого є аналіз величини:

$$\chi = \frac{-d(\ln \Delta\sigma)}{dT}, \quad (1)$$

де $\Delta\sigma$ – поправка, яка враховує провідність, що виникає внаслідок флуктуаційного спаровування носіїв при $T > T_c$ і зумовлена фазовим станом вихрової матерії при $T < T_c$. Припускаючи, що $\Delta\sigma$ змінюється за законом $\Delta\sigma \sim (T - T_c)^{-\beta}$ при $T \approx T_c$, з формули (1) випливає, що $\chi^{-1} = \beta^{-1}(T - T_c)$, де β – показник, який залежить від розмірності і фазового стану флуктуаційної і вихрової підсистем [6,7]. На рис. 1 зображено резистивні переходи в НП-стан монокристала $\text{YBa}_2\text{Cu}_3\text{O}_{7-\delta}$.

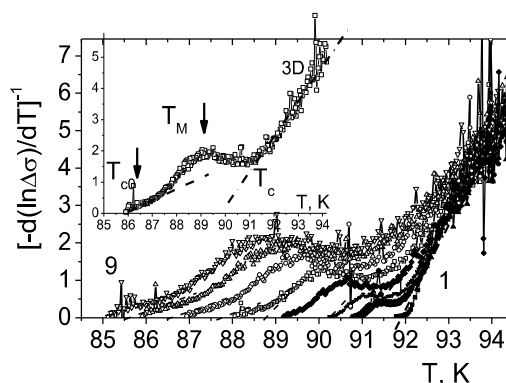


Рис. 1. Резистивні переходи у надпровідний стан монокристала $\text{YBa}_2\text{Cu}_3\text{O}_{7-\delta}$ $H = 0$ (крива 1) і $H = 15$ кЕ, отримані при $\alpha \equiv \angle(\mathbf{H}, ab)$: 0; 5; 10; 20; 30; 45; 60; 90° – криві 2 - 9, відповідно в координатах $\left[\frac{-d(\ln \Delta\sigma)}{dT} \right]^{-1} - T$. На вставці виділена крива, отримана для $\alpha = 60^\circ$

Видно, що у високотемпературній області НП-переходу в усіх кривих спостерігається досить протяжна лінійна ділянка з кутом нахилу $\beta \approx 0,5$, що згідно з моделлю Асламазова–Ларкіна свідчить про появу в системі 3D режиму існування флуктуаційних носіїв. При подальшому віддаленні від T_c у бік високих температур відбувається збільшення абсолютного значення β , що свідчить про реалізацію в системі 3D-2D кросовера [8].

На рис. 2 показано резистивні переходи в надпровідний стан у координатах $\chi(T_c - T_{c0})/\varepsilon_\alpha - (T - T_{c0})/(T_c - T_{c0})$. Позначення кривих відповідає позначенням на рис. 1.

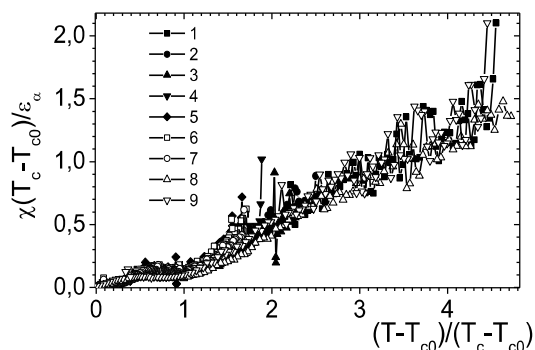


Рис. 2. Резистивні переходи в надпровідний стан монокристала $\text{YBa}_2\text{Cu}_3\text{O}_{7-\delta}$ в координатах $\chi(T_c - T_{c0})/\varepsilon_\alpha - (T - T_{c0})/(T_c - T_{c0})$, де $\varepsilon = 6 \div 9$ – параметр анізотропії

Як було показано в роботі [7], у разі реалізації в системі стану «бреггівського скла» на залежностях $\chi(T)$ має спостерігатися скейлінг у зведених координатах $\chi(T_c - T_{c0}) - (T - T_{c0})/(T_c - T_{c0})$, де T_{c0} – температура, що відповідає середньопольовій критичній температурі, T_M – температура точки плавлення вихрової решітки, T_c – критична температура. З рис. 2 видно, що на експериментальних кривих $\chi(T)$ найкращий скейлінг спостерігається в паракогерентній області при $T < T_M$. При більш високих температурах розбіжність кривих стає істотною внаслідок впливу пінінгу

надпровідних флуктуацій на кластерних включеннях [2, 8].

Установлено, що прикладання магнітного поля (до 15 кЕ) і збільшення кута α до роздвійникованих монокристалів $\text{YBa}_2\text{Cu}_3\text{O}_{7-\delta}$ з малою нестачею кисню, на відміну від аналогічних зразків, оптимально допованих киснем, приводить до появи додаткового низькотемпературного максимуму на температурних залежностях надлишкової провідності, обумовленого пригніченням динамічного фазового переходу виду «порядок-безпорядок».

Збільшення кута $\alpha \equiv \angle(\text{H}, \text{ab})$ приводить до одночасного зростання амплітуди і ширини піка, що відповідає цьому переходу, і його зміщення в область більш низьких температур, що є наслідком зменшення, із зростанням α , внеску власного пінінгу вихрової підсистеми і посиленням ролі об'ємного пінінгу, зумовленого наявністю в структурі експериментального зразка кластерів кисневих вакансій.

Отримано, що при температурах $T < T_c$ відбувається пригнічення динамічного фазового переходу виду вихрова рідина – вихрова решітка і формування в системі переходу виду вихрова рідина – вихрове «бреггівське» скло.

Безпосередньо поблизу T_c ФП задовільно описується тривимірною моделлю Асламазова–Ларкіна для шаруватих надпровідних систем.

Список використаних джерел

1. Chreneos. A. Atomic Scale Models for $\text{R}\text{Ba}_2\text{Cu}_3\text{O}_{6,5}$ and $\text{R}_{1-x}\text{Pr}_x\text{Ba}_2\text{Cu}_3\text{O}_{6,5}$ Compounds (R=Y) / A. Chreneos, I.L. Goulatis, R.V. Vovk // Acta Chim. Sloven. – 2007. – V. 54. – P. 179-184.
2. Bondarenko, A.V. Creep and depinning of vortices in nontwinned $\text{YBa}_2\text{Cu}_3\text{O}_{7-\delta}$ single crystal / A.V. Bondarenko, A.A. Zavgorodniy, D.A. Lotnik etc. // Low Temperature Physics. – 2008. – V. 34, № 7. – P. 508-514.

3. Kwok W.K. Vortex lattice melting in untwinned and twinned single crystals of $YBa_2Cu_3O_{7-\delta}$ / W. K. Kwok, S. Fleshler, U. Welp etc. // Phys. Rev. Lett. – 1992. – V. 69, № 23. – P. 3370-3373.

4. Магнитосопротивление и 2D-3D кроссовер в легированных алюминием монокристаллах $YBa_2Cu_{3-z}Al_zO_{7-\delta}$ с системой однонаправленных двойниковых границ [Текст] / А.А. Завгородний, Р.В. Вовк, М.А. Оболенский и др. // ФНТ. – 2010. – V. 36, № 1. – P. 143-147.

4. Kouvel J.S. Detailed Magnetic Behavior of Nickel Near its Curie Point / J.S. Kouvel, M.E. Fischer // Phys. Rev. – 1964. – V. 136, № 6A. – P. 1626–1632.

5. Асламазов, Л. Г. Влияние флуктуаций на свойства сверхпроводников при температурах выше критической [Текст] / Л.Г. Асламазов, А.И. Ларкин // ФТТ. – 1968. – Т. 10, № 4. – С. 1104 – 1111.

6. Coherence transition in polycrystalline $Y_{0.95}Tb_{0.05}Ba_2Cu_3O_{7-\delta}$ superconductors / R.M. Costa, I.C. Riegel, A.R. Jurelo etc. // Journal Of Magnetism and Magnetic Materials. – 2008. – V. 320. – P. 493–495.

7. Vovk R. V. Transport anisotropy and pseudo-gap state in oxygen deficient $ReBa_2Cu_3O_{7-\delta}$ ($Re = Y, Ho$) single crystals / R. V. Vovk, M. A. Obolenskii, A. V. Bondarenko et al // Journal of Alloys and Compounds. – 2008. – V. 464, № 1. – P. 58-66.

УДК 538.945

*К. В. Тютєєва, С. В. Савич,
О. В. Самойлов, Р. В. Вовк*

ВПЛИВ ВИСОКОГО ГІДРОСТАТИЧНОГО ТИСКУ НА ПРОВІДНІСТЬ МОНОКРИСТАЛІВ $YBaCuO$ З ОДНОСПРЯМОВАНИМИ ДВІЙНИКОВИМИ МЕЖАМИ

*К. В. Тютєєва, С. В. Савич,
А. В. Самойлов, Р. В. Вовк*

EFFECTS OF HIGH HYDROSTATIC PRESSURE ON CONDUCTIVITY OF $YBaCuO$ SINGLE CRYSTALS WITH UNIDIRECTIONAL TWIN BOUNDARIES

Підвищення стійкості технологічних характеристик є одним з основних напрямків сучасної прикладної фізики високотемпературної надпровідності. Найбільш затребуваним в аспекті практичного застосування є з'єднання $YBa_2Cu_3O_{7-\delta}$. Це обумовлено його досить високими критичними параметрами, відносною простотою синтезу і, нарешті, можливістю варіювання транспортних параметрів шляхом зміни вмісту кисню і повної або часткової заміни складових компонент [1-3].

Дослідимо вплив високого гідростатичного тиску до 10 кбар на провідність у базисній ab -площині

монокристалічних зразків $YBa_2Cu_3O_{7-\delta}$ з системою односпрямованих двійникових меж. На рис. 1 подано температурні залежності $\rho_{ab}(T)$ монокристалів $YBa_2Cu_3O_{7-\delta}$ при різному гідростатичному тиску та геометрія експерименту. На рис. 2 приведено температурні залежності псевдощільності цих монокристалів у наведених координатах $\Delta^*(T)/\Delta^*_{max} - T/T^*(\Delta^*_{max} - \text{значення } \Delta^* \text{ на плато далеко від } T^*)$, виміряні при різному тиску.

Виявлено, що додавання високого тиску призводить до деякого зменшення величини баричної похідної $d\xi_c/dP$ при одночасному збільшенні dT_c/dP та